

EL ASPERILLO

Torre La Higuera, Almonte, Huelva

Pleistoceno superior y Tardiglacial (25.000-11.000 años BP)



Figura 855. Detalles del acantilado de El Asperillo



Figura 856. Playa de El Asperillo desde el acantilado

Entre Mazagón (Moguer-Palas de la Frontera) y Torre La Higuera (también conocido como Matalascañas, Almonte) hay una serie de depósitos dunares, denominados "Arenas Gordas", con un componente fósil y varias pasadas turbosas que fueron sujeto de análisis polínico por Stevenson (1984). El sitio tiene unas coordenadas de 37° 05' 13" N y de 06° 41' 51" O y presenta una cronología basal de 25.000-22.000 años BP en la duna y de 13.000-11.000 años BP para el depósito turboso suprayacente (Borja & Díaz del Olmo 1996). La vegetación actual circundante es predominantemente psammófila e

incluye *Pinus pinea*, *Juniperus phoenicea*, *Lavandula stoechas*, *Eleocharis palustris*, *Helichrysum italicum*, *Corema album*, *Halimium halimifolium*, *Staucaranthus genistoides*, *Armeria pungens*, *Carex arenaria*, *Malcomia littorea*, *Scirpus holoschoenus* y *Artemisia campestris*, entre otros.

Stevenson (1984) estudió cuatro sondeos (AS₂, AS₃, AS₄ y AS₅), en los cuales predomina la alternancia de arenas y turbas arenosas, y cuya palinología se representa y discute a continuación. El testigo AS₂

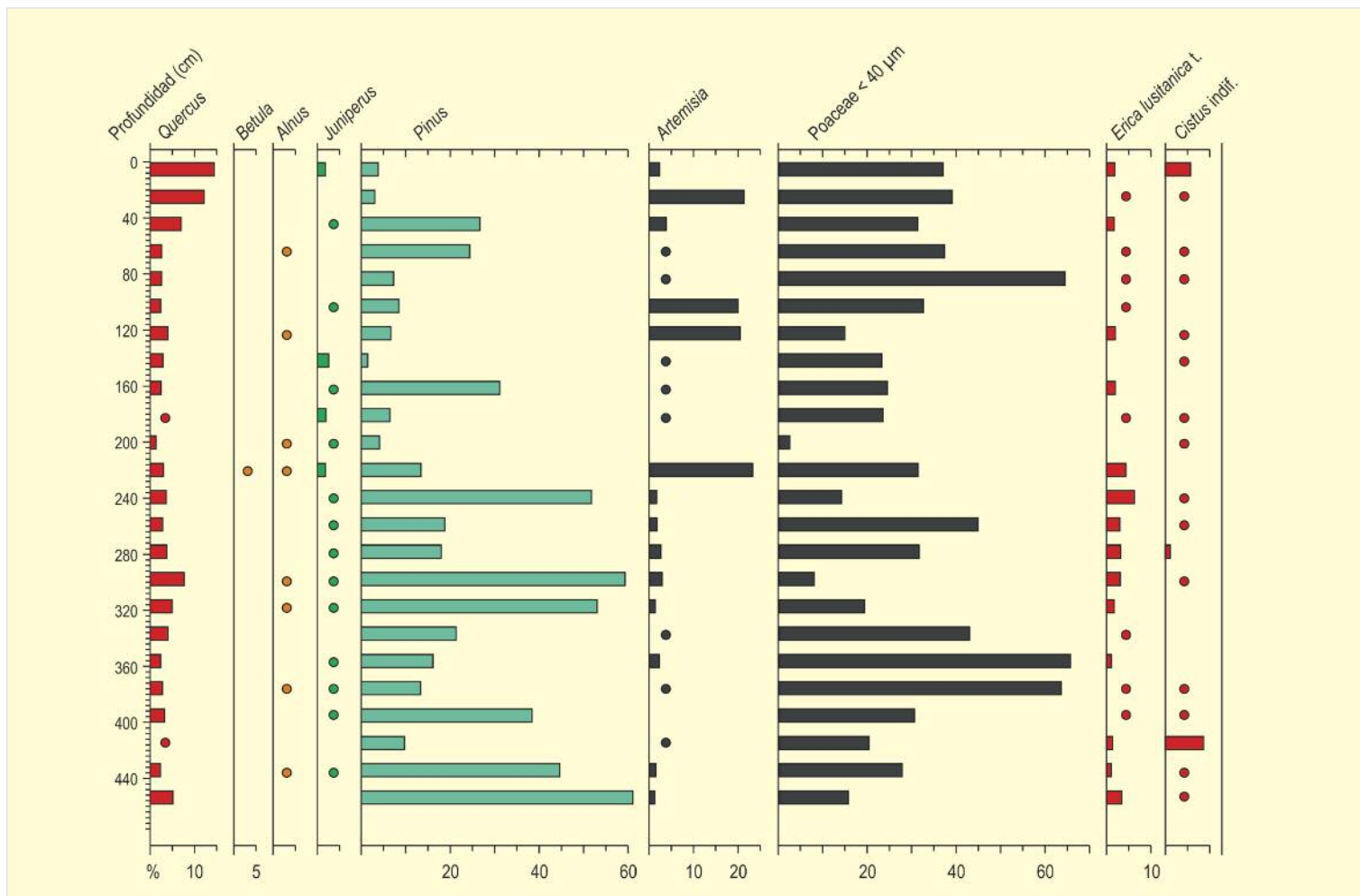


Figura 857. Diagrama polínico de la secuencia AS1 del Asperillo. Redibujado de Stevenson (1984)

(Fig. 858), de unos 50 cm de potencia, muestra el predominio de *Pinus*, que va alcanzando mayor importancia en detrimento de *Poaceae*. La presencia de *Quercus*, *Betula*, *Alnus*, *Corylus*, *Salix*, *Juniperus* y, en menor medida, *Phillyrea*, *Cistus* y *Erica*, es continua. Algunas muestras de la parte inferior resultaron estériles. Probablemente, esta secuencia registre una fase de consolidación dunar.

El registro polínico para AS3 (Fig. 859) es más complejo y cubre más de un metro de potencia, habiendo sido datado entre 15.000 y 11.000 años BP por Borja & Díaz del Olmo (1996). Igualmente, se observa un incremento progresivo de *Pinus*, comenzando en una fase (AS3-1) en la que abunda *Erica*, *Corema album* y Cichorioideae. Durante la fase AS3-3 se produce un incremento muy considerable de *Cistus*, y posteriormente, durante AS3-4, un aumento de *Erica* y *Corema*. *Artemisia* es relativamente abundante durante la secuencia. Los taxones leñosos aparecen puntualmente en todo el registro, e incluyen *Quercus*, *Betula*, *Alnus*, *Corylus*, *Salix*, *Juniperus*, *Ephedra* y *Cistus*.

La secuencia AS4 (Fig. 860) no evidencia grandes disparidades. Tenemos presencia puntual de angiospermas leñosas termófilas, predominio del pino, el cual va aumentando su abundancia hacia el final de la secuencia y decremento, en este caso más acusado, de *Erica*

tipo *lusitanica* y *Cistus*. Se constata mayor dinamismo en las formaciones dominadas por *Artemisia*, *Chenopodiaceae* y *Asteraceae*. Finalmente, el sondeo AS5 (Fig. 861) muestra como particularidad un descenso de *Pinus* en los últimos 30 cm de la secuencia (zona polínica AS5-3), el cual es coetáneo de un incremento de *Artemisia*, *Chenopodiaceae* y tipo *Anthemis*, así como de una mayor incidencia de *Ephedra distachya*.

Algunos aspectos generales del registro del Asperillo incluyen, en primer lugar, la reafirmación de la existencia de refugios glaciales de quercíneas y árboles caducifolios, así como de pino piñonero y vegetación litoral mediterránea durante el final del Pleistoceno. Por otro lado, teniendo en cuenta que Stevenson (1984) desarrolla un estudio de lluvia polínica actual, parece claro que las formaciones forestales con árboles como *Corylus* y *Betula* estuvieron en el pasado mucho más cercanas al área actual de Doñana. Aunque parece obvio, no olvidemos tampoco que este trabajo también demuestra el carácter autóctono del pino piñonero en Doñana.

Muchos de los rasgos del registro polínico de El Asperillo (Fig. 857) reflejan procesos de sucesión dunar y sus cambios de vegetación asociados, como el paso desde formaciones dominadas

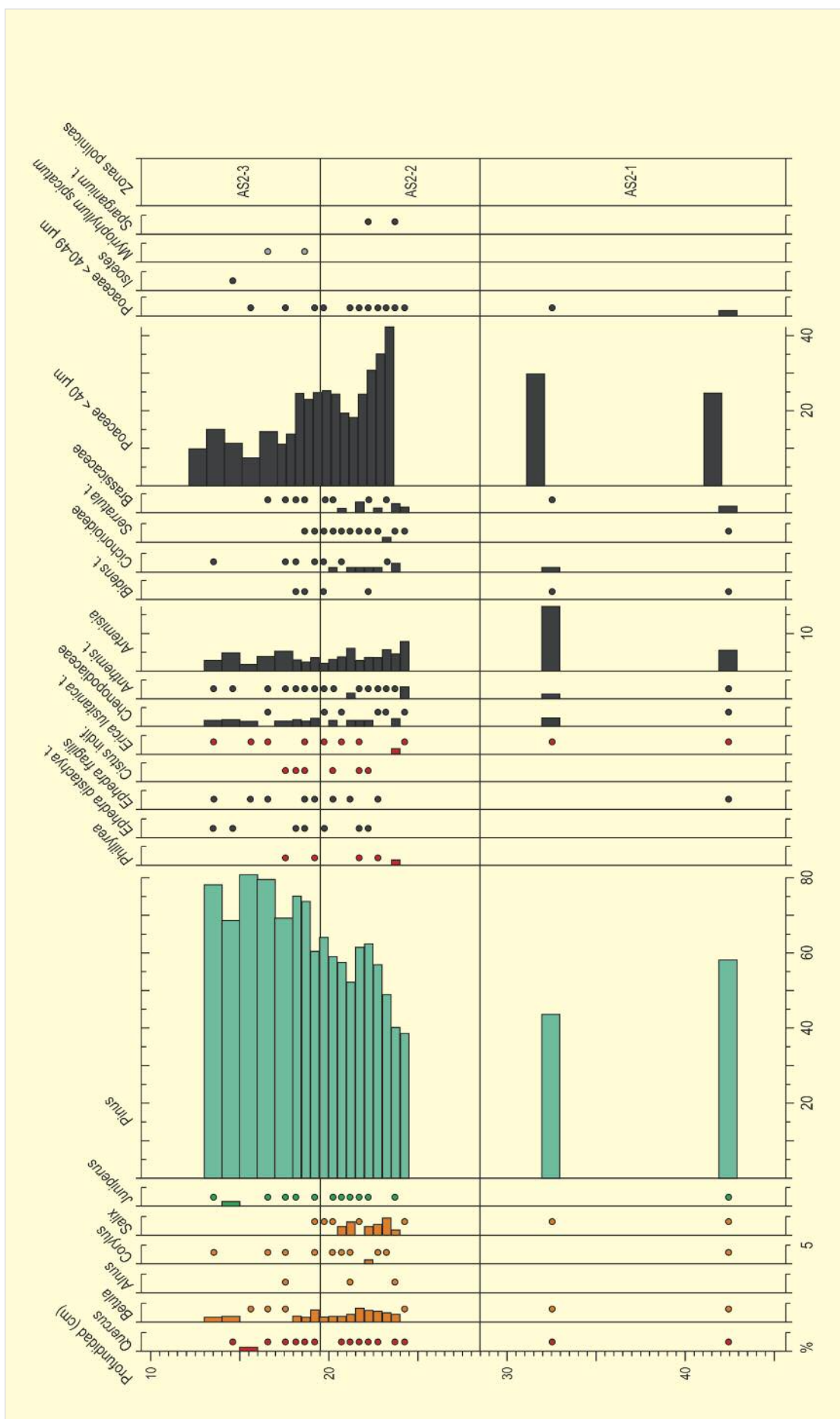


Figura 858. Diagrama polínico del sondeo AS2 del Asperillo. Redibujado de Stevenson (1984)

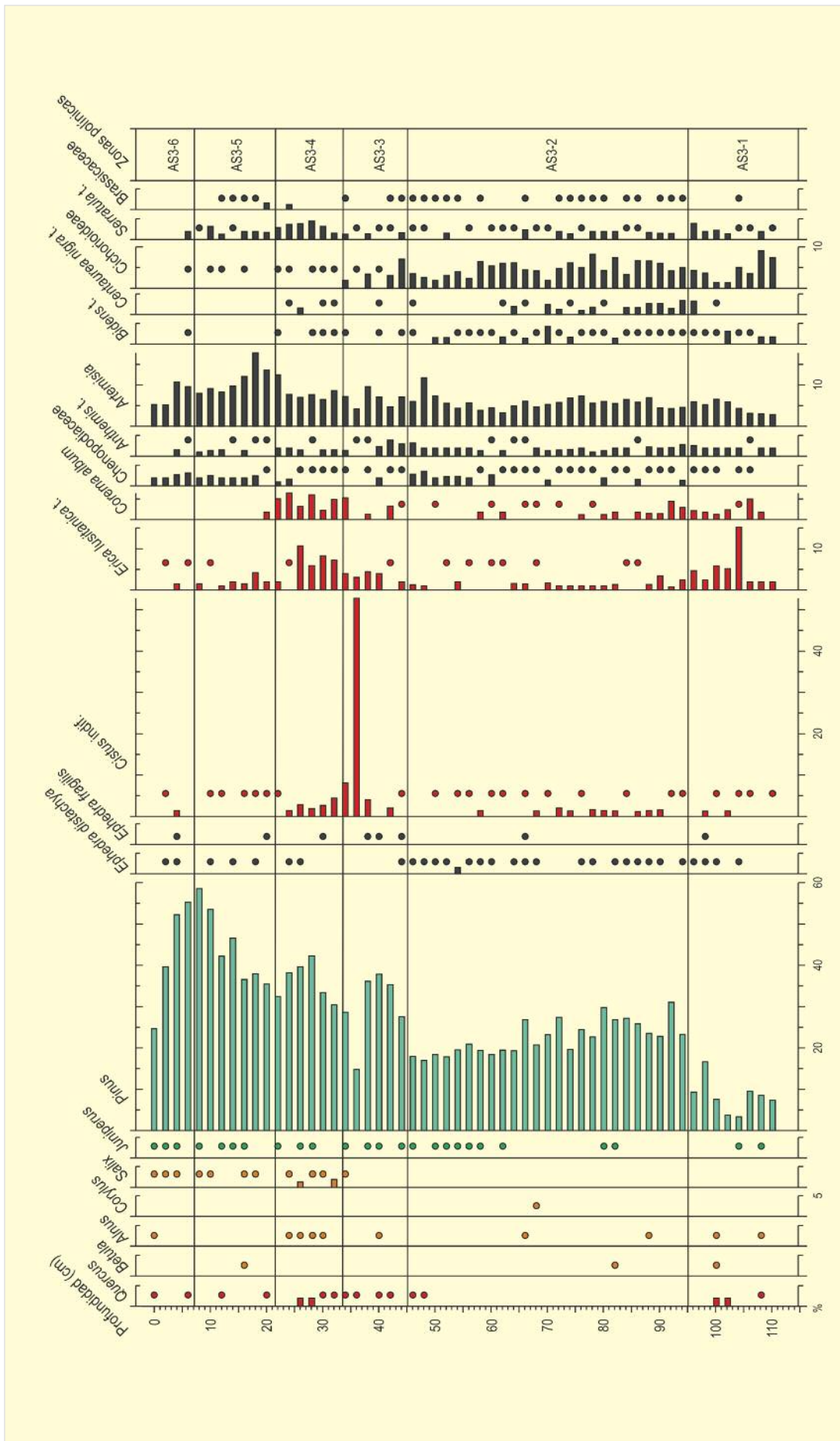


Figura 859. Diagrama polínico del sondeo AS3 del Asperillo. Redibujado de Stevenson (1984)

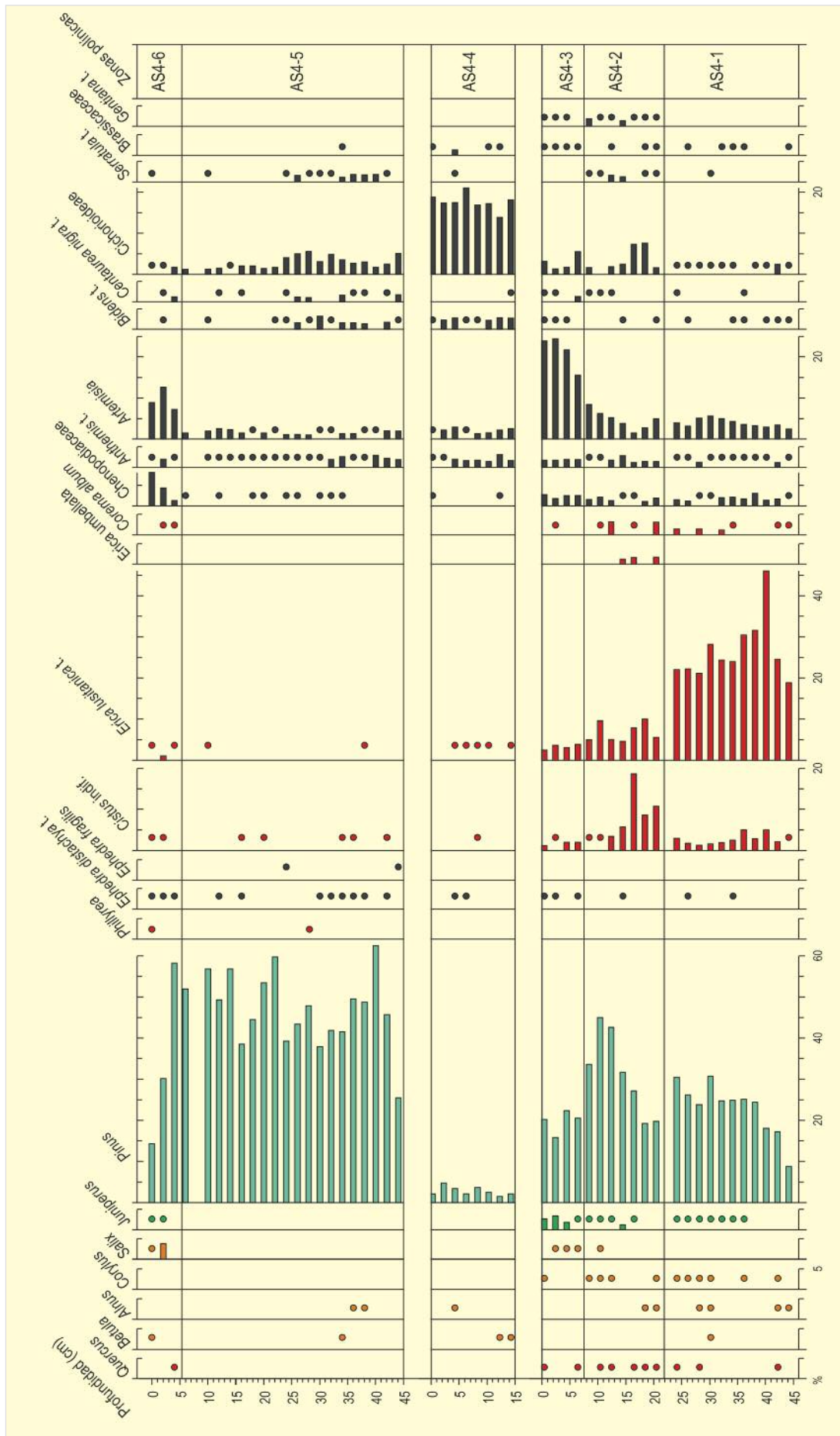


Figura 860. Diagrama polínico del sondeo AS4 del Asperillo. Redibujado de Stevenson (1984)

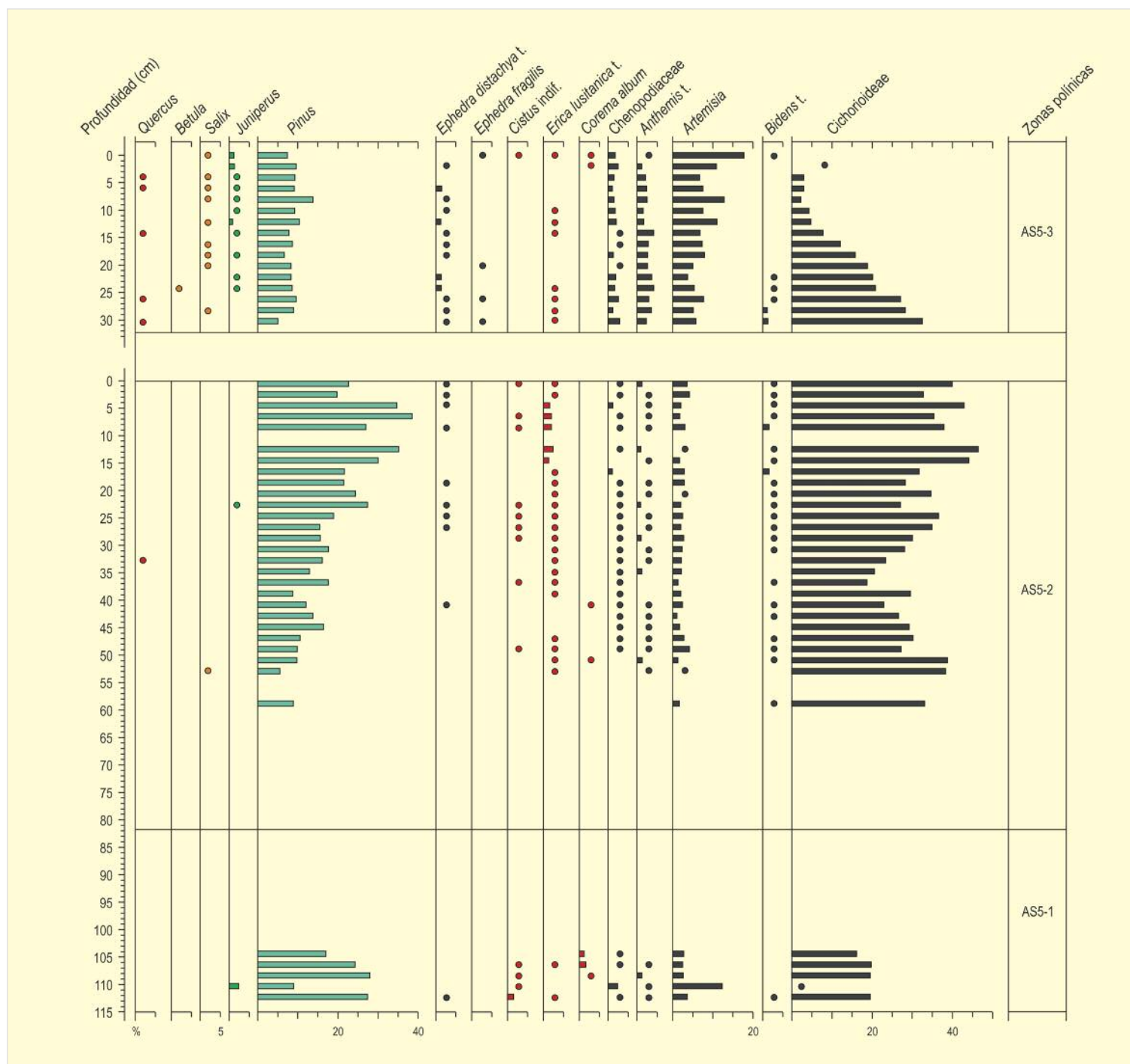


Figura 861. Diagrama polínico del sondeo AS5 del Asperillo. Redibujado de Stevenson (1984)

por gramíneas y compuestas hacia pinares de *Pinus pinea* y *Juniperus phoenicea* en sistemas más estabilizados. Las fases de inundación suelen ir asociadas con máximos en *Myriophyllum* y a veces *Salix*.

Más información

Stevenson (1984)